## • 胸部影像学 •

# 孤立性肺结节CT灌注成像与微血管构成的相关性研究

单飞,张志勇,曾蒙苏,邢伟,卢韶华

【摘要】目的:探讨孤立性肺结节(SPN)CT 容积灌注(CTVP)成像参数与其微血管构成的相关性。方法:38 例 SPN (恶性 32 例,良性 6 例)患者行首过法 CTVP 成像,并进行 CD34 及  $\alpha$ -平滑肌免疫组织化学染色。通过完全随机 t 检验或 Wilcoxon 法非参数秩和检验比较良、恶性结节间灌注参数及血管参数间的差异,采用 Pearson 或 Spearman 相关分析探讨 SPN 的 CTVP 参数与微血管参数,包括有腔血管面积(LVA)、有腔血管周长(LVP)及有腔血管数目(LVN)的相关性。结果:恶性与良性结节组的血流量(BF)分别为(101. 98±43. 14)和(59. 65±31. 25) ml/(100g·min),血容量(BV)分别为(4. 56±1. 51)和(2. 60±1. 60) ml/100g,表面通透性(PS)分别为(16. 97±7. 35)和(6. 81±6. 65) ml/(100g·min),LVA分别为(423. 12±183. 24)和(165. 29±127. 31)  $\mu$ m²/视野、LVP分别为(299. 08±138. 29)和(134. 37±88. 24)  $\mu$ m/视野,LVN分别为(16. 15±9. 62)和(9. 08±6. 59)条/视野;差异均有统计学意义(P均<0. 05)。SPN 的 BV 值与 MVD 有相关性(r=0.483,P<0.05)。BF 值与 LVA、LVP及 LVN 有相关性(r 值分别为 0. 547、0. 507 和 0. 404),BV 值与 LVA、LVP有相关性(r 值为 0. 714、0. 504),PS 值与 LVA、LVP、LVN 有相关性(r 值分别为 0. 507、0. 541、0. 473,P 均<0. 05)。结论:SPN 的 CTVP 成像参数与有腔血管参数的相关性好于与 MVD 的相关性;与血管生成相比较,CTVP 成像更多地反映SPN 的微血管构成。

【关键词】 肺肿瘤;孤立性肺结节;体层摄影术,X线计算机;灌注成像;血管生成

【中图分类号】R814.42; R734.2 【文献标识码】A 【文章编号】1000-0313(2012)07-0746-04

Correlation study of CT volume-based perfusion imaging and micro-vascular composition in solitary pulmonary nodules SHAN Fei, ZHANG Zhi-yong, ZENG Meng-su, et al. Department of Radiology, Zhongshan Hospital, Fudan University, Shanghai 200032, P. R. China

[Abstract] Objective: To investigate the relationship between CT volume-based perfusion (CTVP) parameters and micro-vascular composition of solitary pulmonary nodules (SPN). Methods: Thirty-eight patients with pathology proved SPNs were enrolled in the first pass CTVP, including 32 malignant nodules and 6 benign nodules. All underwent immunohistochemical staining with CD34 and a-smooth muscle action (SMA). The differences of perfusion parameters and vascular parameters of benign and malignant nodules were analyzed with student t test or Wilcoxon test. Pearson or Spearman correlation analysis was used to study the CTVP parameters and micro-vascular parameters including lumenous vascular area (LVA), lumenous vascular perimeter (LVP) and lumenous vascular number (LVN), Results: The blood flow (BF) of malignant and benign nodules was (101.  $98 \pm 43.14$ ) and (59.  $65 \pm 31.25$ ) ml/(100g • min); the blood volume (BV) was  $(4.56\pm 1.51)$  and  $(2.60\pm 1.60)$  ml/100g; the surface permeability (PS) was  $(16.97\pm 7.35)$  and  $(6.81\pm 1.51)$ 6.65) ml/(100g·min); the LVA was (423.12 $\pm$ 183.24) and (165.29 $\pm$ 127.31)  $\mu$ m²/field; the LVP was (299.08 $\pm$ 138.29) and  $(134.37\pm88.24)\mu\text{m/field}$ ; the LVN was  $(16.15\pm9.62)$  and  $(9.08\pm6.59)/\text{field}$  respectively, with significant statistic differences, all of them showed P < 0.05. The BV value of SPNs was positively correlated with MVD (r = 0.483, P < 0.05). The BF value was correlated with LVA, LVP and LVN (r=0.547, 0.507 and 0.404 respectively), the BV value was correlated with LVA and LVP (r=0.714 and 0.504 respectively), the PS value was correlated with LVA, LVP, LVN (r= 0.507,0.541,0.473 respectively), all of them showed P < 0.05. Conclusion: The CTVP parameters and lumenous vascular parameters of SPNs showed better correlation compared with that of MVD. The micro-vascular composition of SPN could be better showed in CTVP than angiogenesis.

**[Key words]** Lung neoplasms; Solitary pulmonary nodule; Tomography, X-ray computed; Perfusion imaging; Angiogenesis

肺癌的CT强化值、灌注值与肿瘤血管生成有较

基金项目:上海市慈善癌症研究中心(2007年);苏州大学青年教师自然科学基金(Q3124942);常州市社会发展科技项目(CS20102005)

好的相关性<sup>[1-3]</sup>。近年来,有学者发现 CT 灌注成像参数可能与肿瘤微血管构成(成熟/有腔血管)有相关性<sup>[4]</sup>。本研究旨在探讨孤立性肺结节(solitary pulmonary nodules, SPN)的 CT 容积灌注成像(volume-based perfusion imaging, VPI)与肿瘤微血管构成的相关性。

作者单位:200032 上海,复旦大学附属中山医院放射科(单飞、张志勇、曾蒙苏),病理科(卢韶华);213003 江苏,苏州大学第三附属医院影像科(单飞、邢伟)

作者简介:单飞(1978一),男,江苏扬州人,博士,主治医师,主要从 事胸部放射诊断工作。

通讯作者:张志勇,E-mail;zhangzy@fudan.edu.cn 其全项目,上海直兹美嘉克研究中心(2007年),某州大学素任者

### 材料与方法

2007 年 5 月 - 2009 年 5 月在本院行首过法 CTVPI 检查的 SPN 患者共 85 例,其中经手术切除证实的 SPN 38 例,恶性 32 例,良性 6 例,包括腺癌 23 例、鳞癌 4 例、转移性肿瘤 2 例、黏液表皮样癌 1 例、大细胞癌 1 例、结核球 3 例、炎性结节 1 例、隐球菌感染 2 例。其中男 16 例,女 22 例,中位年龄 59 岁 (29~70岁),SPN 最大径(2.24±0.52) cm。进行 CTVPI 检查的 SPN 选择标准:①结节直径为 1 cm《实性 SPN最大径《3 cm;②无对比剂过敏;③能配合检查;④结节内无良性钙化或脂肪成份;⑤能屏气配合,横轴面图像上无明显呼吸移动伪影。

所有患者采用 GE Lightspeed 64 层螺旋 CT 机型行 CTVPI 检查。常规呼吸训练,平扫定位,以病灶最大层面为中心,行首过法同层动态增强扫描,探测器宽度 40 mm,5 mm×8i,100 kV,120 mA,0.5 s/r,间隔1 s、屏气 31 s、共扫描 21 次。在用双筒高压注射器以流率 5 ml/s 经前臂静脉注入对比剂(300 mg I/ml)50 ml,然后注射 30 ml 生理盐水,延迟时间 6~10 s。CTVPI 的有效 X 线辐射剂量为 4.39 mSv。图像传入ADW 4.3 工作站,采用 Perfusion 3 软件的体部肿瘤单血供模式分析 CTPI 参数,包括血流量(BF)、血容量(BV)、对比剂平均通过时间(MTT)和表面通透性(PS)。将输入动脉兴趣区设在升主动脉、降主动脉或颈总动脉。结节 ROI 通过手动勾勒包括全瘤,并避开钙化、较大血管及病灶边缘,计算所有可测层面的平均灌注值。

38 例患者新鲜手术标本离体后 10%中性甲醛溶液浸泡固定 24 小时。取材时尽量以肿瘤最大层面切取组织,并将肿瘤中心及边缘包含于一个组织块内。组织块常规石蜡包埋备用。采用 CD34 单克隆抗体 (上海长岛)标记、免疫组化 EnvisionTM 二步法检测肿瘤微血管密度 (microvascular density, MVD), α-平

滑肌 (smooth muscle action, SMA) 免疫组化步骤同 CD34。CD34 结果判定采用Weidner 标准 $^{[7]}$ :随机取肿瘤周边 4 个区域及中心 2 个区域,在 200 倍视野下分别计数所有微血管数目(图 1),取 6 个视野的均值作为 MVD(条/0.723 mm $^2$ )。SMA 主要在血管的平滑肌上呈现棕黄色颗粒,且将可见条状、裂隙状或点状管腔的阳性血管定义为有腔血管(成熟血管,图 2) $^{[4]}$ 。有腔血管数目(luminal vascular number, LVN)、有腔血管面积(luminal vascular area, LVA)和有腔血

管周长(luminal vascular perimeter, LVP)按 Kan 等[4]的定义通过 Imaging Measure 1.0 软件(复旦大学上海医学院生理和病理生理教研室曹银祥研发)获得。结果判定在盲法下进行。

采用 SPSS 14.0 统计分析软件。先通过 Kolmogorov-Smirnov 及 Shapiro-Wilk 检验判断 BF、BV、MTT、PS、MVD、LVN、LVA 及 LVP 值的正态性。以 2 项研究 P 均>0.05 为数据符合正态性分布。呈正态分布的参数使用完全随机 t 检验比较恶性结节与良性结节组的均数差异有无统计学意义,不呈正态分布的参数使用非参数秩和检验(Wilcoxon 法)比较两组数据的中位数差异有无统计学意义,以 P<0.05 为差异有统计学意义。对双变量正态分布数据,采用 Pearson 相关分析;对 双变量非正态分布数据,采用 Spearman 相关分析,分析各 CTVPI 参数与 MVD 及各有腔血管参数的相关性,以 P<0.05 为相关性有统计学意义。

**结 果**38 例 SPN 的 CTVP 及血管参数的描述统计见表 1。
表 1 38 例 SPN 的 CTVPI 参数及血管参数值

参数	$\overline{x} \pm s$	95 % CI	范围	M
BF	$95.30 \pm 44.00$	80.84~109.76	15.12~233.33	90.49
BV	$4.25 \pm 1.67$	$3.70 \sim 4.80$	$0.57 \sim 8.65$	4.09
MTT	$5.75 \pm 6.49$	$3.62 \sim 7.88$	$1.51 \sim 42.40$	4.81
PS	15.37 $\pm$ 7.94	12.75 $\sim$ 17.97	$1.27 \sim 36.27$	14.49
MVD	$63.22 \pm 42.80$	49.16 $\sim$ 77.29	$9.67 \sim 215.00$	55.00
LVA	$382.41 \pm 198.49$	$317.16\sim447.64$	22.19~941.96	363.22
LVP	$273.07 \pm 144.15$	225.69~320.45	$41.85 \sim 685.72$	262.21
LVN	$15.04 \pm 9.50$	$11.91 \sim 18.16$	3.50~42.00	12.42

注:BF 单位 ml/(100g・min),BV 单位 ml/100g,MTT 单位 s,PS 单位 ml/(100g・min),LVA 单位  $\mu m^2/$ 視野,LVP 单位  $\mu m/$ 视野

良、恶性结节组 BV、PS、LVA 数据符合正态分布  $(P \ \ \ \ )$  > 0.05); BF、MTT、LVP 及 LVN 不符合正态分布  $(P \ \ \ \ )$  < 0.05); MVD 不符合正态分布, Shapiro-Wilk 检验 P < 0.05, Kolmogorov-Smirno 检验 P > 0.05。 恶性结节组的灌注参数 BF、BV、PS(图 3) 及微血管参

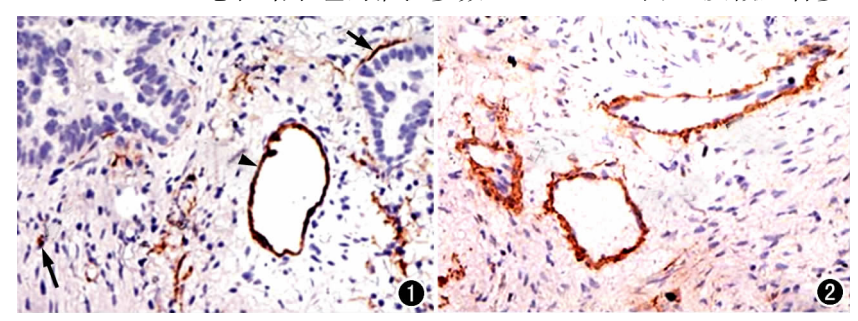


图 1 CD34 免疫组化图,阳性细胞染成棕黄色,包括有腔的腺癌微血管(箭头)及无腔微血管(短箭)及单个内皮细胞(长箭)。 图 2 SMA 免疫组化图,血管平滑肌上呈现棕黄色颗粒,可见有腔的腺癌微血管及单层或多层被染成棕色的血管平滑肌细胞。

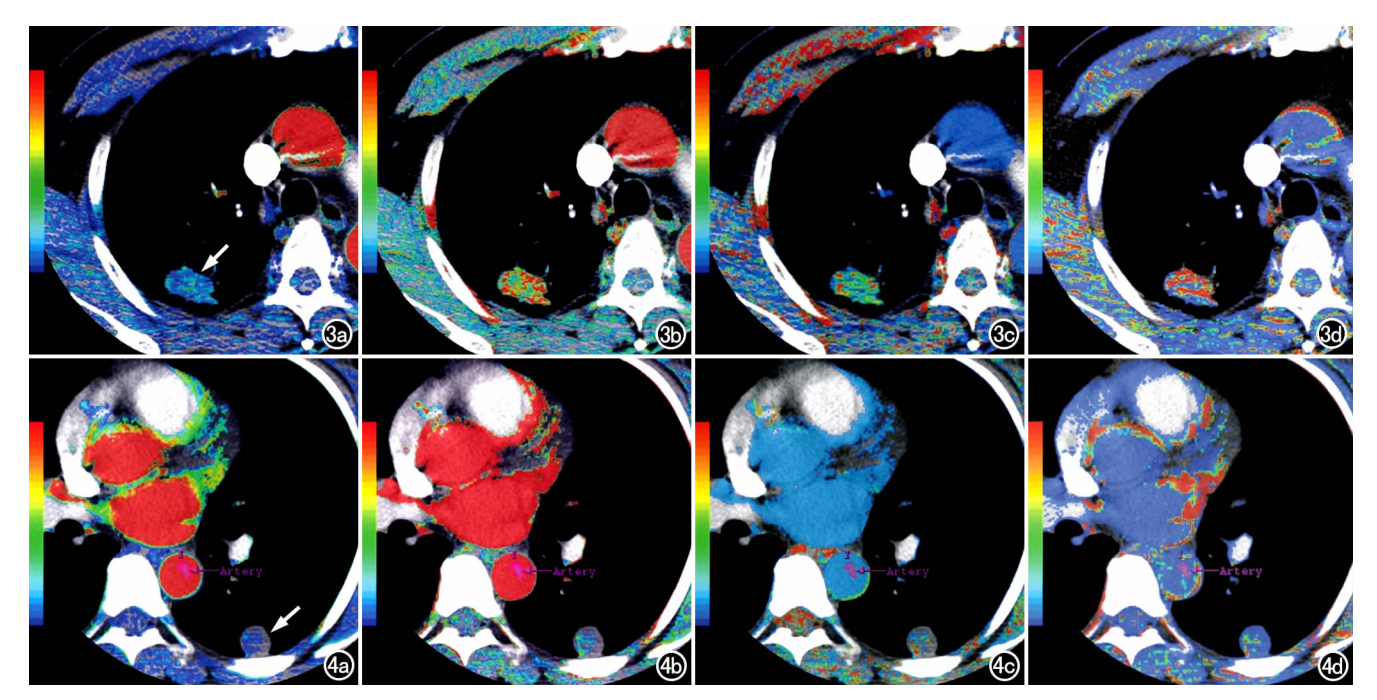


图 3 右肺上叶后段腺癌([b期)。a) BF 伪彩图示结节呈浅蓝色(箭),提示中等偏高灌注,定量值为 116 ml/(100g·min);b) BV 伪彩图示结节呈红绿色,提示中等偏高灌注,定量值为 8.65 ml/100g;c) MTT 伪彩图示结节呈蓝绿及少许红色,提示对比剂通过中等偏慢,定量值等于 5.85s;d) PS 伪彩图示结节呈红色为主、夹杂少许蓝色,提示结节高灌注,定量值为 20.57 ml/(100g·min)。 图 4 左肺上叶尖后段结核球。a) BF 伪彩图示结节部分呈深蓝色(箭),部分无伪彩色,提示低灌注,定量值为 42.43 ml/(100g·min);b) BV 伪彩图示结节小部分呈浅蓝色,大部分无伪彩色,提示低灌注,定量值等于 1.52 ml/100g;c) MTT 伪彩图示结节部分呈蓝色及红色混杂,部分无伪彩色,提示对比剂通过偏慢,定量值等于 5.03 s;d) PS 伪彩图示结节大部分呈深蓝色,极少部分呈红绿色,提示低灌注,定量值为 3.58 ml/(100g·min)。

数 LVA、LVP、LVN 高于良性结节组的相应(图 4)参数值,差异有统计学意义(P 均<0.05); MTT 及 MVD 差异无统计学意义(P 均>0.05)。各参数值及统计分析结果见表 2。

表 2 恶性与良性结节组 CTVP 及微血管参数比较检验结果

参数	恶性	良性	Z或 $t$ 值	P 值
BF	101.98±43.14 (90.99)	59.65±31.25 (55.38)	<b>−2.</b> 242 <sup>△</sup>	0.023
BV	$4.56\pm 1.51$ $(4.37)$	$2.60\pm 1.60$ (2.48)	2. 902*	0.006
MTT	4.65±2.29 (4.65)	$11.60\pm15.19$ (6.09)	<b>−1.</b> 721 <sup>△</sup>	0.089
PS	$16.97 \pm 7.35$ (15.20)	$6.81\pm 6.65$ $(6.07)$	3. 224 *	0.003
MVD	59.35±40.09 (55.00)	$83.89 \pm 54.60$ (72.75)	<b>−</b> 0.781 <sup>△</sup>	0.445
LVA	423.12±183.24 (376.14)	$165.29\pm127.31$ (165.50)	3. 283*	0.002
LVP	299.08±138.29 (265.83)	$134.37 \pm 88.24$ (118.74)	<b>−2.</b> 122 <sup>△</sup>	0.033
LVN	$16.15\pm 9.62$ (12.55)	$9.08\pm 6.59$ $(6.34)$	<b>−2.</b> 762 <sup>△</sup>	0.004

注:BF 单位 ml/(100g·min),BV 单位 ml/100g,MTT 单位 s,PS 单位 ml/(100g·min),LVA 单位  $\mu m^2/$ 视野,LVP 单位  $\mu m/$ 视野;  $^{\triangle}$  Z 值; \* t 值;括号内为中位数。

相关性分析结果显示, MVD 与 LVA、LVP 及 LVN 无相关性; BF、MTT 及 PS 值与 MVD 无相关性; BV 值与 MVD 有相关性; BF 值与 LVA、LVP、LVN 均有相关性; BV 值与 LVA、LVP 有相关性, 与

LVN 无相关性; PS 值与 LVA、LVP、LVN 均有相关性; MTT 值与 LVA、LVP 及 LVN 均无相关性。38 例 SPN 各参数的相关性分析结果见表 3。SPN 的 BV 值与微血管参数相关性的散点图见图 5。

表 3 SPN 的 CTVP 参数与 MVD 及有腔血管参数的相关分析结果

参数	MVD	LVA	LVP	LVN
BF				
r 值	0.288	0.547	0.507	0.404
P 值	0.079	< 0.001	0.001	0.012
BV				
r 值	0.483	0.714	0.504	0.260
P 值	0.002	< 0.001	0.001	0.115
MTT				
r 值	-0.200	0.222	-0.129	-0.196
P 值	0.906	0.180	0.442	0.239
PS				
r 值	0.307	0.507	0.541	0.473
P 值	0.061	0.001	< 0.001	0.003
MVD				
r 值	1.000	0.222	0.277	0.222
P 值	_	0.180	0.092	0.181

#### 讨论

经典理论认为 CT 强化峰值、CT 灌注值与肿瘤血管生成(MVD)有较好的相关性[2,8]。但 Yi 等[9] 发现良、恶性 SPN 的 MVD 差异无统计学意义。本组资料

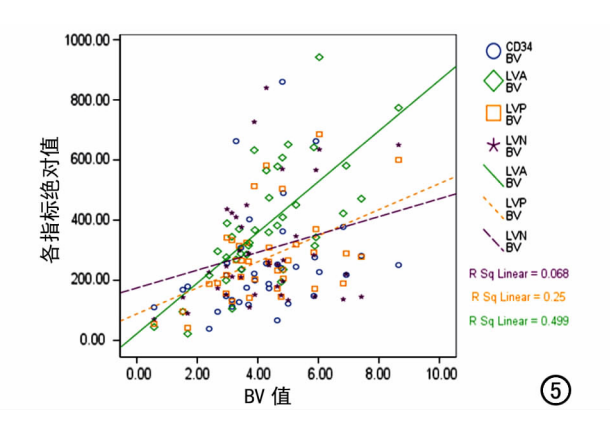


图 5 38 例 SPN 的 BV 值与 MVD、LVN、LVA 及 LVP 值的 散点图。

也发现,在良、恶性 SPN 的 CTVP 参数值有统计学差异的情况下,MVD 差异却无统计学意义(P<0.05)。 Kan 等[4]认为 CTPI 实际反映的是有相对正常血液通透功能的、发育相对成熟的有腔血管,并不能反映无功能的单个血管内皮细胞、无腔或不成熟血管的数目。为探究肺结节 CTVPI 差异的主要原因,有必要进一步引入有腔血管参数来定量分析微血管构成。鉴于有腔血管覆盖血管平滑肌,因此运用针对平滑肌的特异性染色即可识别成熟的有腔血管[4.10]。

本实验中,SPN的 MVD 与有腔血管参数无相关 性,说明后者相对独立,不受 MVD 影响。恶性组的 LVA、LVP及LVN均大于良性组,提示良、恶性结节 的 BF、BV 及 PS 间的差异可能是恶性 SPN 的有腔血 管较良性结节数目多目管腔较大,而多数良性结节中 的血管相对较少且管腔小所致。本组结果还发现, CTVP与有腔血管参数有相关性,其中,BV 值与 LVA 的相关性最好 (r=0.714), 远高于 BV 与 MVD 的相关系数(r=0.483);其它各项参数亦均高于相应 参数与 MVD 的相关系数。虽然 BV 值与 MVD 有相 关性,与文献报道结果相仿[9-10],但BF、PS值与MVD 间无相关性,也提示 CTVP 主要与微血管的量和构成 有关。因此,在良、恶性 SPN 的 CTVPI 参数有差异、 MVD 无差异、有腔血管参数与 CTVP 各项参数的相 关性高于 MVD 与 CTVPI 各项参数相关性的情况下, 我们认为良、恶性 SPN 间的 CTVPI 差异可能主要由 肺结节内有腔血管的量及大小,即微血管构成不同所 致。但由于肺癌组织学类型和分化程度不同,血管生 成和微血管构成差异大,血流灌注的差异也大;同时良 性结节中既有低血供低灌注病变,如结核球,也有富血 供高灌注结节,如炎性结节、隐球菌肉芽肿结节和肺硬 化性血管瘤等,微血管的量和构成差异也大,是造成 CT 灌注成像诊断 SPN 不够理想的重要原因[1,11-13]。

本研究的主要不足之处主要有 2 点。首先是良性肺结节的样本量偏小,纳入病种有限,未包括错构瘤和

肺硬化性血管瘤等病例,因此可能造成良、恶性两组 SPN的CTVP、MVD和有腔血管参数对比结果出现 选择性偏移。其次是分别观察和计算病理标本CD34和SMA免疫组织化学染色后的微血管,2次选择的微 血管不可能完全一致,因此可能造成计算MVD和有 腔血管参数的选择性偏移,采用新型CD34和SMA复 合染色有助于解决此项不足[14]。

总之,良、恶性 SPN 间的 CTVP 差异与肺结节内有腔血管的量及大小有关。较微血管总量而言,CTVPI可能更多地反映了病灶内的微血管构成。

#### 参考文献:

- [1] Li Y, Yang ZG, Chen TW, et al. Peripheral lung carcinoma; correlation of angiogenesis and first-pass perfusion parameters of 64-detector row CT[J]. Lung Cancer, 2008, 61(1): 44-53.
- [2] Ng QS, Goh V. Angiogenesis in non-small cell lung cancer; imaging with perfusion computed tomography [J]. J Thoracic Imaging, 2010, 25(2):142-150.
- [3] Bai RJ, Cheng XG, Qu H, et al. Solitary pulmonary nodules; comparison of multi-slice computed tomography perfusion study with vascular endothelial growth factor and microvessel density [J]. Chin Med J (Engl), 2009, 122(5):541-547.
- [4] Kan Z, Phongkitkarun S, Kobayashi S, et al. Functional CT for quantifying tumor perfusion in antiangiogenic therapy in a rat model[J]. Radiology, 2005, 237(1):151-158.
- [5] Weidner N, Semple JP, Welch WR, et al. Tumor angiogenesis and metastasis——correlation in invasive breast carcinoma[J]. N Engl J Med, 1991, 324(1):1-8.
- [6] Provenzale JM. Imaging of angiogenesis: clinical techniques and novel imaging methods[J]. Am J Roentgenol, 2007, 188(1):11-23.
- [7] Yi CA, Lee KS, Kim EA, et al. Solitary pulmonary nodules; dynamic enhanced multi-detector row CT study and comparison with vascular endothelial growth factor and microvessel density[J]. Radiology, 2004, 233(1):191-199.
- [8] Goh V, Halligan S, Daley F, et al. Colorectal tumor vascularity: quantitative assessment with multidetector CT——Do tumor perfusion measurements reflect angiogenesis? [J]. Radiology, 2008, 249(2):510-517.
- [9] 刘进康,胡成平,周漠玲,等. 多层螺旋 CT 灌注成像评价非小细胞 肺癌分化程度的价值及其机制[J]. 中华肿瘤杂志,2009,31(6):
- [10] Zhang M, Kono M. Solitary pulmonary nodules: evaluation of blood flow patterns with dynamic CT[J]. Radiology, 1997, 205 (2):471-478.
- [11] Ma SH, Le HB, Jia BH, et al. Peripheral pulmonary nodules; relationship between multi-slice spiral CT perfusion imaging and tumor angiogenesis and VEGF expression[J/OL]. BMC Cancer, 2008,8:186. http://www.biomed.central.com/1471-2407/8/186
- [12] Goh V, Halligan S, Daley F, et al. Colorectal tumor vascularity: quantitative assessment with multidetector CT-do tumor perfusion measurements reflect angiogenesis[J]. Radiology, 2008, 249 (2):510-517.